

吹送流による密度境界面の混合に関する研究 (1)

九州工業大学	正 浦 勝
・ 學 ○ 葉山 児玉 英信	・ 學 ○ 関信
・ 正 西村 直人	

1.はじめに 湖沼、貯水池など閉じた水域においては鉛直方向に密度が急変する場合がある。このような状態において、水面に風が吹くと水面近傍は、風应力のため風下側へ流れ、いわゆる吹送流を生じる。この吹送流による流れあるいは上層部の乱れにより密度界面下の下層流体が連行され上層に流入することになる。この連行量と風の特性量との関係を明らかにすることは水質管理上重要な課題と考える。本報告は、このような観点から実験室内の風波水槽用いて形成密度界面の低下速度から連行速度を求めたものである。

2.実験装置 風波水槽はFig.1に示すように水槽部長さ5m、内幅20cm、全水深40cm、風路高さ20cmのアクリル樹脂製である。風は断面44×44cmのベニア製風路約14mで送られ水路上流側で長さ63cmの縮流部

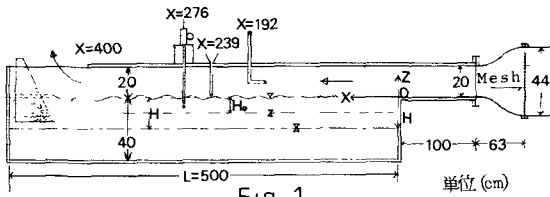
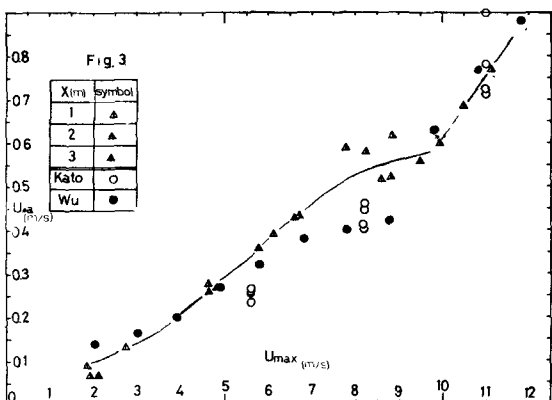
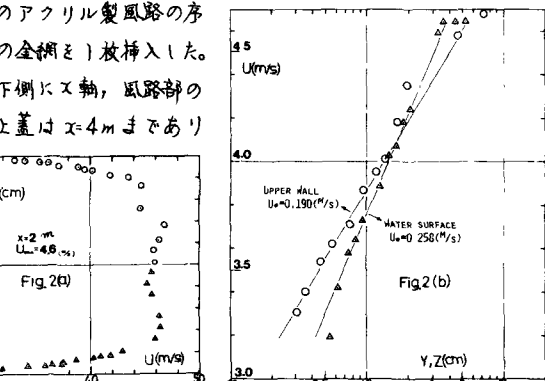


Fig. 1

($R=59.33\text{cm}$ の円弧を接続)で $20\times20\text{cm}$ に縮小させた後1mのアクリル製風路の序走部を通って水路部に入る。縮流部直前には40メッシュの金網を1枚挿入した。測定位置の表示は水路部始端の風路底を原点とし風下側にx軸、風路部の高さをz、界面の位置をH、yを表した。風路の上蓋は $x=4\text{m}$ まであり水路部末端には波の反射を防止するため消波装置を設けた。

3.均質流体上の吹送流の特性 水面上の空気マサウ速度 U_{∞} 風速はピト-静圧管とボイントゲージで支持し、微差圧力変換器によりペンレコーダーに出力し、その時間的平均値を読み取る方法を用いた。風速分布は $x=0, 1, 2, 3\text{m}$ の各点でそれぞれ最大風速 $U_{\max} \approx 2, 4, 6, 8, 10, 11\text{m/sec}$ に変化させて測定した。風速分布の一例をFig.2(a)(b)に示す。これは $x=2\text{m}$, $U_{\max} = 4.6\text{m/sec}$ の場合のものである。水面近傍の流速はほぼ対数分布則に従うとみなすことができるので直線のように直線をあてはめこれより U_{∞} を求めた。このようにして求めた U_{∞} と最大風速との関係をFig.3に示す。同図よりFetch xの違いによる差異は認められず図の曲線で近似することができよう。これより $U_{\max} = 10\text{m}$ で U_{∞} が急増することから、この風速附近で碎波すると考えられる。なお参考のためWU¹⁾、加藤²⁾の実験結果も示した。



表面流速 表面流速は魚釣用球浮子($\phi 6\text{ mm}$,比重 0.76)を上流端から、落下させその移動時間の Lap time を測定して求めた。測定結果の一例を Fig.4 に示す。これよりかなりのばらつきがあるが風速の増加と共に増大している。 $x=375\text{ cm}$ を除けば Fetch による差異は認められなかつた。

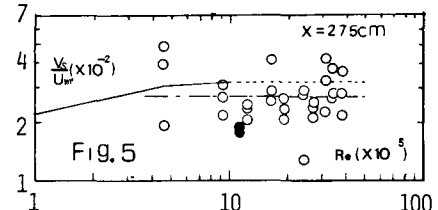
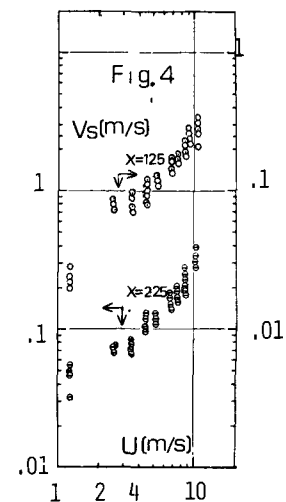
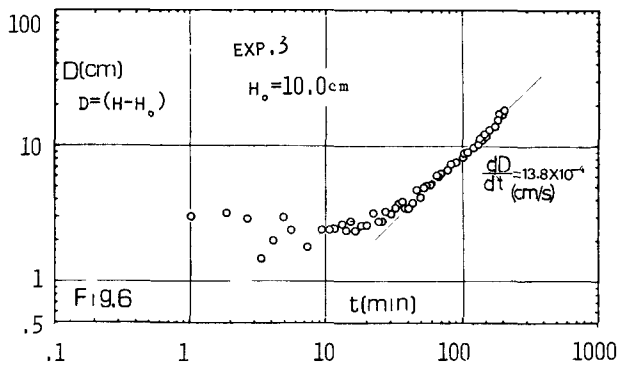
$x=275\text{ cm}$ における V_s/V_{\max} と Re 数 ($Re = U_{\max}H/\nu_w$; H は上層水深, ν_w は、水の動粘性係数) の関係を Fig.5 に示す。ばらつきが大きいが $V_s/V_{\max} \approx 0.027$ であり、加藤²⁾ もこの数値を出している。実線は Keulegan³⁾ の測定曲線である。なお同図の黒丸は次節に述べる二層流の場合の値である。

4. 密度境界面の進行速度 Fig.1 に示すように水路内に水道水と塩水を用いて初期界面が深さ $H_0=10\text{ cm}$ となるよう二層流状を形成し、 $U_s(z=192\text{ cm}, z=15\text{ cm})=5\text{ m/sec}$ で密度界面の進行速度を測定した。実験条件は Table-1 に示す。進行速度は $x=276\text{ cm}$ に電導度計を設置し鉛直密度分布を X-Y レコードに記録し界面位置(H)の低下速度より求めた。界面の低下量 $D=H-H_0$ の時間的変化の一例を Fig.6 に示す。同図の実験より $U_e = \frac{dD}{dt}$ を求め進行係数 U_e/U_{\max} とリチャードソン数 $Ria = \frac{\Delta\rho g H_0}{\rho_w U_{\max}^2}$ との関係を Table-1 の記号を用いて Fig.7 に示した。同図には Wu⁴⁾ の実験結果も示した。なお EXP.5 (θ) の実験は界面が上流端において水表面に達してしまひ純粋に界面の進行速度のみを表わしているとはいえない。Fig.7 より Ria の小さい所では進行係数は Ria^2 に比例し、 Ria の大きい所では Ria に比例する傾向にあるようである。Wu の結果に比べて U_e/U_{\max} が約 10 倍大きい結果を得た。

5. おわりに 実験装置の製作、実験条件に制約がありまだ十分な資料も得ていなかった結果の一例を報告した。今後風速を変化させると共に、波の特性、吹送流の流速分布、逆流最大速度などを測定して進行係数と流れの Ria 数との関係も検討したいと考えている。

参考文献

- i) Wu, J.; Wind Induced Drift Current, J.F.M. Vol.61 (1975)
- ii) 加藤鉢;流れの各所における風浪の研究, (学位論文) (1978)
- iii) Keulegan, G.H.; Wind Tides in Small closed Channel, J. Res. Natl. B.S. Vol.46 No.5 Res. Paper 2207 (1951)
- iv) Wu, J.; Wind Induced Turbulent Entrainment across a Stable Density Interface, J. F. M. vol. 61 (1973)



Exp. No	1	2	3	4	5
Symbol	①	⊗	●	■	⊖
U_{15} (m/s)	5.06	5.22	5.25	5.07	5.20
Ria ($\times 10^{-3}$)	1.255	1.288	1.233	1.238	1.255
U_{ea} (cm/s)	31.0	30.0	30.7	31.4	30.5
H_0 (cm/s)	9.85	10.0	10.0	9.6	9.7
ΔP_0 ($\times 10^4$ g/cm 2)	223	67.2	36.4	95.4	21.5
Ria	178	59.6	30.7	73.6	17.5
U_e ($\times 10^4$ cm/s)	1.51	4.43	13.8	2.95	49.9

Table-1

